# SH波発生装置により発生した波群の研究:ラブ波の発生とその地中観測

著者	嶋 悦三,太田 裕,柴藤 喜平
雑誌名	防災科学技術総合研究報告
号	19
ページ	13-18
発行年	1969-03-30
URL	http://id.nii.ac.jp/1625/00002574/

624. (3), 55 : 550, 834 : 550, 341 : 550, 340, 9 (521, 28 + 521, 22)

# SH波発生装置により発生した波群の研究: ラブ波の発生とその地中観測

鳴悦三\*・太田裕\*・柴藤喜平 <sup>地費調査所</sup>

Observation of Love Waves Generated by the SH-Wave Generator

Βv

E. Shima,\* Y. Ohta\* and K. Shibato Geological Survey of Japan, Tokyo

#### Abstract

The Mark I SH-wave generator has been modified by taking account of the experiences of the field test reported in the previous paper. The main point of modification is the increment of the weight of generator itself (see Photo 1). By means of this Mark II generator, the quality of the generated waves were greatly improved. Love wave groups were observed not only on the surface ground but also in the bore-holes. Observed data were compared with the theoretical calculations such as dispersion curve and the amplitude distribution with respect to depths, and fairly good agreement was found between them.

#### 1 はじめに

地震時における震害を僅小にくいとめるためには、まずその場所における地盤の振動特性をくわしく知る必要がある。このためには、従来おこなわれてきたようなP波のみによる調査に併せてS波による調査も実施し、地盤の物理的性質をしらべていかなければならない。特にS波速度は、それをつたえる地盤の強度との関に簡単な関係があ

ることから、これらの資料が工学の分野でも急速 に注目を集めるようになってきた。

さて、実際に現場において、S波速度を実測し その応用面を開発しようという立場にたてば、現 在まがりなりにも、S波による小規模な地震探査 が可能になってきたとはいえ、これはまだ専問家 にとっての話であり、我々に残された問題点は数 多い、すなわち、このような調査が誰にでもでき

## \* 調査員(東京大学地震研究所)

るようにするためには、より能率よくS波を発生 させるために,発生装置の改良とか,観測計器の 改良をふくめたより簡便な測定法の開発等への努 力がのぞまれる. この目的のためには, 現実に使 用している発生装置によりどのような波群が発生 しているか, またその波群がどのような伝播特性 をもっているかを詳しく吟味する必要がある. 一 方, このような基礎的実験と平行して各種地盤を 伝わるS波速度をしらべ, 地質との対比を行なっ ていくことも応用面から考えて重要であろう. () 2)

を得て, これによる野外実験をおこない, かなり よい結果を得たことを報告した 4).この際気付か れたいくつかの欠点を改良し,再び実験を 行なっ た. 今回の実験では、改良点の検討、また発生し、シリコンオイルで強力なダンピングを与えてあり た波群の伝播特性をしらべることを主眼とした. 実験地は,成田市,長豊橋附近の利根川河川敷で あり、こゝの地下構造については、前報<sup>5)6)</sup>に詳しば、今回行なった主な実験項目は次のとおりである。 しく報告してある.

## 2 S H 波発生装置の改良

前報にものべた通り, SH波発生装置の原理は 次のようなものである. 火薬の爆発によって生じ た鉄管内の圧力により, おもりが外部へおし出さ れる. この反動によって,発生装置の台座は逆方 向に押し出され,地面との間に急激なズリ応力を 発生する.よってSH波が発生すると考えられる. 前回の実験では装置の自重が軽かったため薬量を ふやすと水平力が摩擦力に打勝って台座が地表を すべってしまい,薬量増加による効果があまりみ とめられなかった. この点を改めるためには,装 置の自重をましてやればよい。そのため Photo-1 にしめすような容器を発生装置にのせ、この中に



Photo.1 Mark II SH-Wave generator.

土を入れることにより、その自重をふやすことを 試みた. その他, ストッパーピンと鉄管との結合 部分,薬室とおもり附近の鉄管を強化する等, と まかな改良がなされた.

# 3 実験方法及び使用計器

実験は,昭和43年2月,千葉県成田市竜台の 長豊橋附近の利根川河川敷で行なわれた。 実験に は, SIE 24成分探鉱器, 三栄測器製24成 分電磁オツシログラフ, SONY製4成分データ ーレコーダーを使用した. 使用した地震計は,上 下水平兼用の固有周波数10c/sの地震計および 前回筆者らは、SH波発生装置を試作する機会 3成分地中地震計(固有周波数5 c/s)である. 10 c/sの地震計は, 15 c/sょり高い周波数の 波動に関しては, 地動の速度に比例した出力を得 るよう設計されている。また3成分地中地震計は 0.2~50 r/sの周波数範囲で地動の加速度に比 例する出力が得られる.

a 発生した波群(SH波,ラブ波)の検討.

# b 指向性実験.

第2の項目については前回にも行なったが、その ときは,地震探査用の上下動地震計を水平にして 使用した. そのため, 総合特性の補正が必ずしも 充分でなかった. そとで振幅のくわしい議論が出 来るようにさきにのべた特性のそろった10 c/s の地震計を前回と同様に配置し, 観測した. その 結果前回と較べて振幅の精度が増し, 予期した通 りのパターンが得られた. この問題については機 会をあらためて報告することとし, ここではこれ 以上ふれない、この他,火薬の爆速を変化させた 場合の発生装置のふるまいおよびそのとき発生さ れた波群をしらべる基礎的実験も行なわれた。 爆 速をおそくした場合(たとえば黒色火薬を使った 場合)一般の新桐ダイナマイト等に較べて, はる かに大量の薬量を安全に爆破させられることがわ かった. このことは,薬量変化と,振巾のかわり を調べる上でより広範囲に薬量変化を期待出来る という意味で非常に重要なことである. この問題 も将来機会を得て研究をすすめたい.

以下項目a) についてのべることにする.

前にものべた通り,発生装置によって発生させ られた波群を検討しておくことは, 将来装置を改 良する上で重要な情報を提供するものである. も ちろん理学的見地からいってもとのような波群を

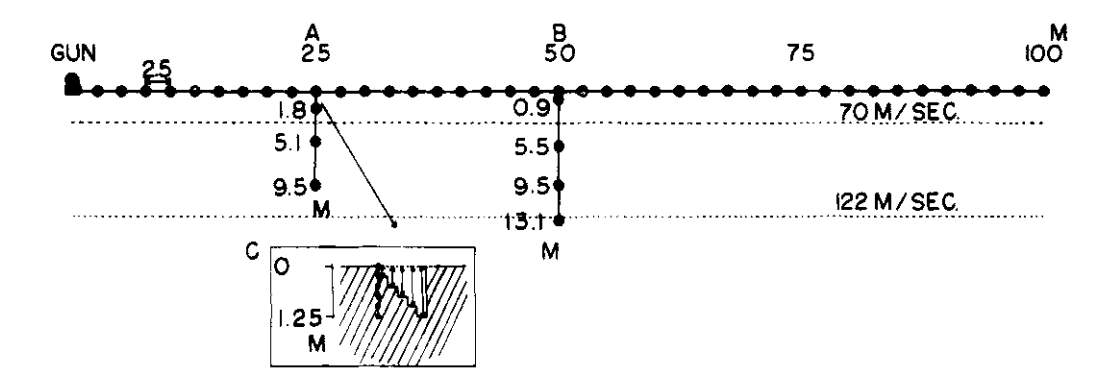


Fig.1 The explanatory figure of observations. "o"shows the observation point. The underground structure for S waves is also shown with dashed lines.

つたえる媒質の情報を得る意味で重要である.

もし、発生装置により、安定したSH波が出されているとすれば、当然のことながら、これに附随して生ずるラブ波が存在しなければならない。 そこで、地表観測のみでなく、地下の観測も加えて、ラブ波が理論から期待されるような深さに対する振幅分布をしめすかどうかをたしかめることにした。

Fig.1 は、上記のような意味で行なった測線 の配置をしめしている. 地表展開は, 10 c/sの 地震計をTransverse 方向に、2.5~100 m まで2.5 mおきにならべ(2スパン), また, A, B両点では3成分による観測を行なった。記録器 は三栄測器製24成分電磁オッシログラフであり 増巾器は使用せず、地震計を直結した。また地中 観測は、A、B、C 3点で行ない、A、Bでは、 図示の深さのボーリング孔底に3成分地中地震計 を設置した、記録は、SONYのデーターレコー ダーおよびSIEの地震探鉱器によった、この際 地表には標準の地震計をおき, 各実験における発 生波の安定性を確めた、Cでは図にしめすょうに Transverse 方向に階段状の観測点をつくった. 地表より0.25mおきに1.25mまで6ヶ所で観 測した、地震計は10 c/sのものを使った、これ はラブ波の振幅の減小が地表附近で特にいちょる しいであろうという予想があったためである。 Fig.2 は地表展開における観測結果のpasted-

up の例である。S H波に続いて大振幅の波群が ラブ波であると考えられる。Fig.3 は、波群の

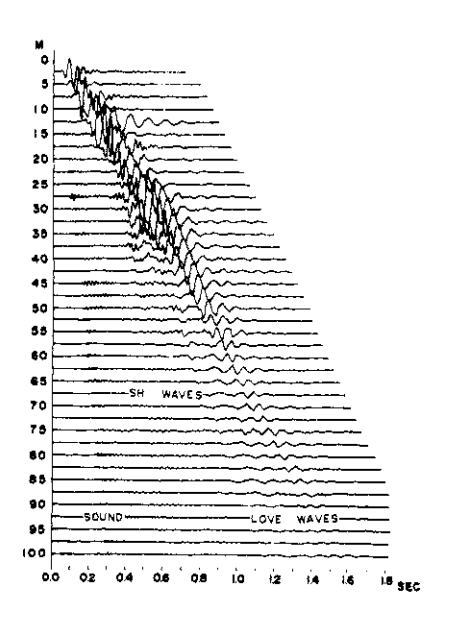


Fig. 2 An example of pasted-up seismograms showing the SH as well as Love waves.

ピークの走時をよみとったものであり、点線は最大振幅の位置をしめしている。この波群の伝播速度はほぶ60m/sをしめしている。なか4=50mより遠くでは、幾分これより早い速度を示しているようにも思われるが、これが地下構造を反映しているものかどうかははっきりしない。Fig.



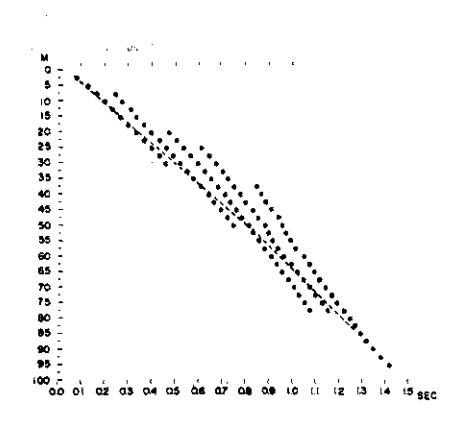


Fig. 3 Travel times of peaks shown in Fig. 2

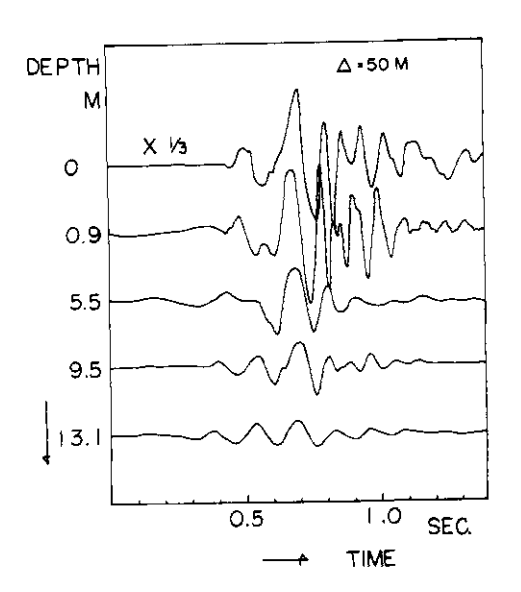


Fig. 4 Love waves observed at various depths.

4は△-50m(B)における地下観測の例である. 地表の記録のみ相対感度%にしてかいてある. Fig. 5,6に今までの調査でわかっているSH 波の地下構造をもとにしてモデルA,Bを考えて理論的に計算した.分散曲線および各周波数(57,11,15 cps)における地下の振幅分布をかいてある. この場合,地表の振幅を単位にとっ

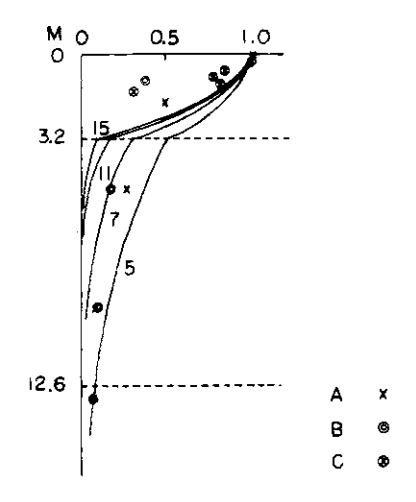


Fig. 5 Dispersion curves for Love waves. The calculation is based upon the S-underground structure.

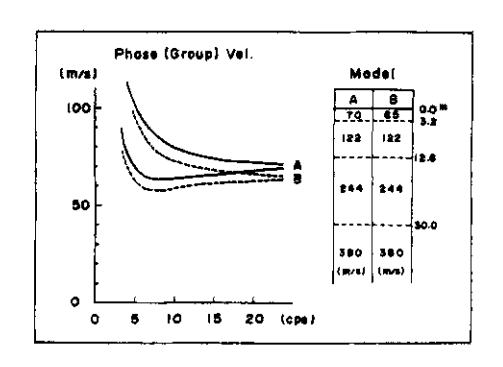


Fig. 6 Theoretical and experimental Love wave amplitude distribution vs. depths.

てある、Fig. 5にはさらにFig. 4などからよみみとったラブ波群の最大振幅をかきこんであり、計算と較べてある。この場合も地表の振幅を1.0とした。この図をみると、理論と実測とが割合によい一致をしめしていることがわかる。今回は、この結果をうるために、2種類の周波数特性のちがう計器をつかったため、更に詳しい議論は行な

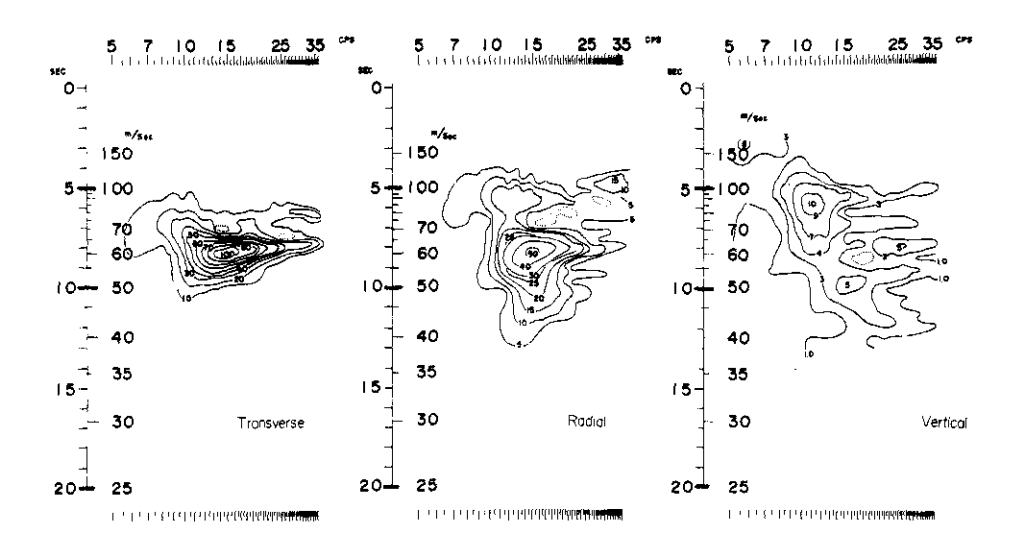


Fig. 7. Examples of running spectrum analysis.

わなかったが、特性のそろった計器でこのような 観測を行ない、記録の周波数分析を行なった上で 各周波数における振幅の変化をしらべれば、さら によい一致をうることも期待される。以上のと から、我々がラブ波であろうといっていたで 理論的に期待されるような挙動をしめしていると が明らかになり、ラブ波であると断定していると いと考える。逆にいえば、発生装置から安定 いと考えるが出されているといっ、この を るらにたしかめる意味で、Fig. 7に△-50 mの点における3成分の記録をRunning

spectrum anajysis?)した結果をしめす。機軸は周波数,緩軸は原点からある波群が観測点に到達するまでの走時である。これは便利のため群速度でも表現されている。なおコンターにかきこまれた数字は、Transverse 成分と比較することに数字は、Transverse 成分と比較すると、なることであるが、Fig. 7にある。いりまでもないことであるが、Fig. 7におる、いりまでもないことであるが、Fig. 7におるいて、ある時間(あるいは群速度)を固定にがあるいて、ある時間附近の波群のフーリエスペクトラムをあたえるととになる。これら3つの図を較べていえることは次のとおりである。

1) Transverse 成分は, 群速度約60 m/sの 附近に集中している, (Fig. 3 も参照). この 図でコンターが横長になっていることは, 波群が 弧立的であることをしめしている。

2) Radial 成分は,幾分60 m/sの群速度附近に集中している傾向もみとめられるが,振巾は Transverse 成分ほど大きくなく,全体として 縦長の傾向がある。とのことは,Transverse 成分とちがって,はっきりきまった群速度でつた わる波群がないことを示している。

3) 上下成分の振幅は非常に小さい。

これらのことからも、SH波発生装置が、ノィズとしての他成分をあまり発生せず、安定にSH波を発生していることがわかる。

#### 4. おわりに

SH波発生装置を改良し、そのテストをかねて 実験を行なった。改良点のもっとも重要なことは その自重をましたことおよび各部を強化したこと である。このことにより、爆速のおそい火薬を使 うことにより、以前にもまして広範囲の薬量変化 の実験を、安全に行なう道をひらいた。

発生した、SH波およびラブ波を地上展開ならびに、地下の観測により、得た結果とすでに得られている地下構造から理論的に予想されるラブ波の分散曲線、および地下の振幅分布と比較したところよい一致がみとめられた。

3 成分 Running spectrum analysis ⊘結

#### 地震時における軟弱基礎地盤の振動性状に関する現場実験研究 (第2報) 防災科学技術総合研究報告 第19号 1969

果からも、発生装置が安定なSH波を発生していることがわかった。

おわりに本研究の現場の実験を手伝われた,柳沢 馬住,野口静雄の両氏,図面の作製にあたり助力 された,上村葉子,渡辺さゆりの両嬢に御礼申し 上げる。数値計算には,IBM7090および, 東京大学計算センターのHITAC 5020E(課 題番号:3001B00031,3001B00450.) を使用した。

#### 参考文献

- 1) 河角広・嶋悦三・太田裕・柳沢馬住・アーメッドアラム・宮川和志(1966):東京都内各所に おけるS波の測定結果(1). 護研彙報44, 731-747.
- 2) 嶋悦三・太田裕・柳沢馬住・アーメッドアラム・河角広(1968):東京都内各所におけるS 波の測定結果(2)。 震研彙報46,759-772。

- 3) 嶋悦三・太田裕・柳沢馬住・工藤一嘉・河角 広(1968):東京都内各所におけるS波の側定 結果(3) 震研彙報46,印刷中・
- 4) 嶋悦三・太田裕・柴藤喜平・平沢清・伊藤公 介(1967): S H波発生装置の試作とその実験。 防災科学技術総合研究速報 6,7-14.
- 5) Ioc cit 4)
- 6) 太田裕・嶋悦三・柴藤喜平・平沢清・伊藤公介(1967): S V波発生のための二,三の試み、防災科学技術総合研究速報 6,15-22.
- 7) 太田裕・久保寺章(1968): 火薬爆発によって発生したLove波、地震(II) 21, 109-120